

# LANCÉ

Servicio Clima Espacial

# Reporte Semanal

<http://www.sciesmex.unam.mx>



**AEM**  
AGENCIA ESPACIAL MEXICANA



**CENAPRED**  
CENTRO NACIONAL DE  
PREVENCIÓN DE DESASTRES

## CONDICIONES DEL SOL

Regiones Activas (RA): 0

Hoyos coronales: 3, uno localizado en zona central y dos en los polos.

Fulguraciones solares: 0.

Eyecciones de masa coronal: No se registraron eyecciones dirigidas a Tierra.

Estamos en el mínimo de manchas solares.

## CONDICIONES DEL MEDIO INTERPLANETARIO

Sin perturbaciones

## CONDICIONES DE MAGNETÓSFERA

Índice K local: no se registraron perturbaciones significativas.

Índice Dst: no se registraron perturbaciones significativas.

## CONDICIONES DE LA IONOSFERA

No se registraron perturbaciones ionosféricas.

## CONDICIONES DE RAYOS CÓSMICOS SOBRE MÉXICO

No se detectaron cambios significativos en el flujo de partículas.

## PRONÓSTICOS

### Viento solar:

- Se pronostica una velocidad del viento solar promedio entre 450 y 500 km/s en la semana del 6 al 12 de marzo, sin incrementos significativos en la densidad del plasma. No se espera la llegada de alguna EMC.

### Fulguraciones solares:

- No se esperan fulguraciones para los siguientes días.

### Tormentas ionosféricas:

- No se esperan perturbaciones en los próximos días.

### Tormentas geomagnéticas:

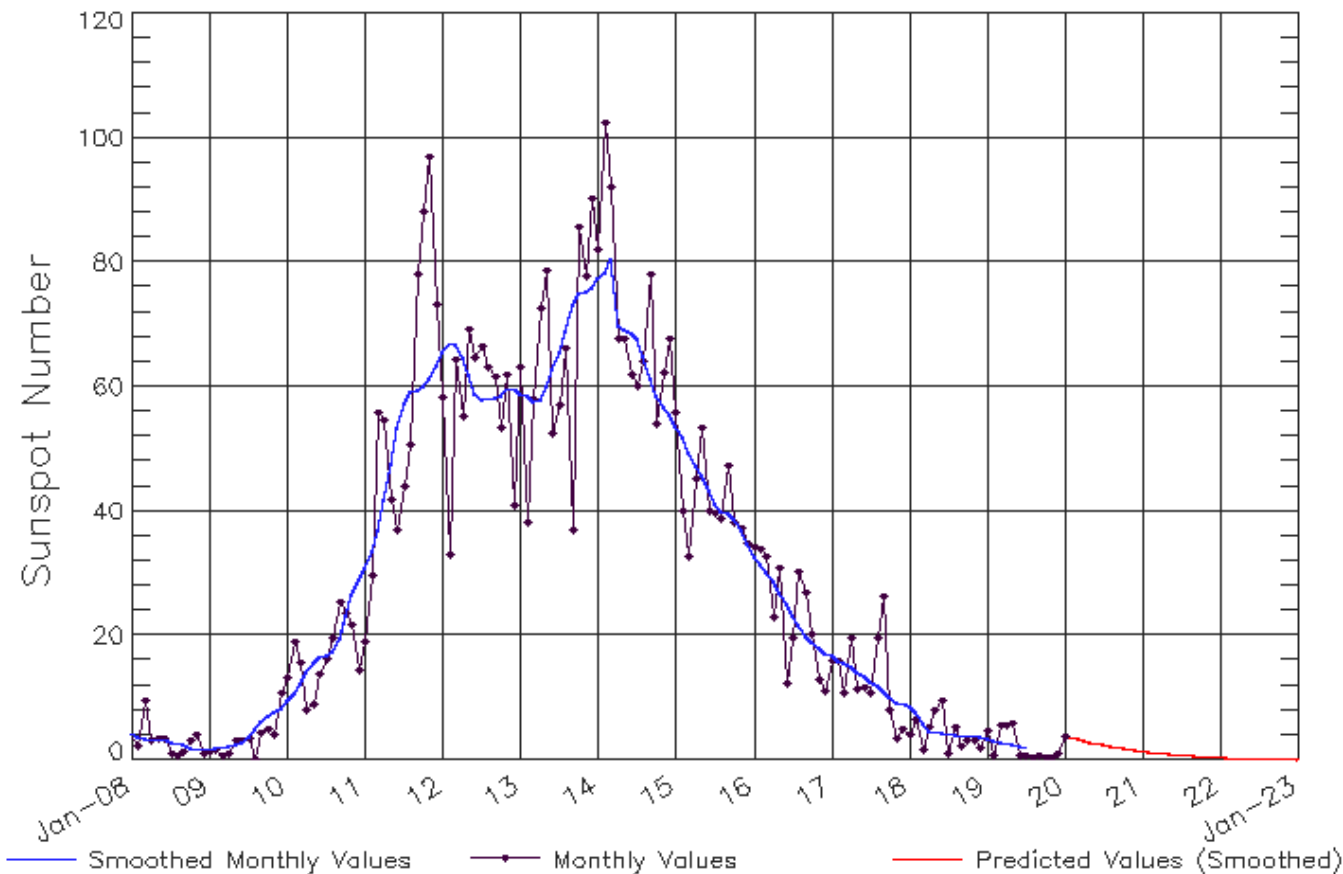
- No se esperan perturbaciones geomagnéticas en los próximos días.

### Tormentas de radiación solar:

- Debido a la poca actividad, no se esperan tormentas en los siguientes días.

# Ciclo de manchas solares y la actividad solar

ISES Solar Cycle Sunspot Number Progression  
Observed data through Jan 2020



La figura muestra el conteo del número de manchas solares desde enero del 2008.

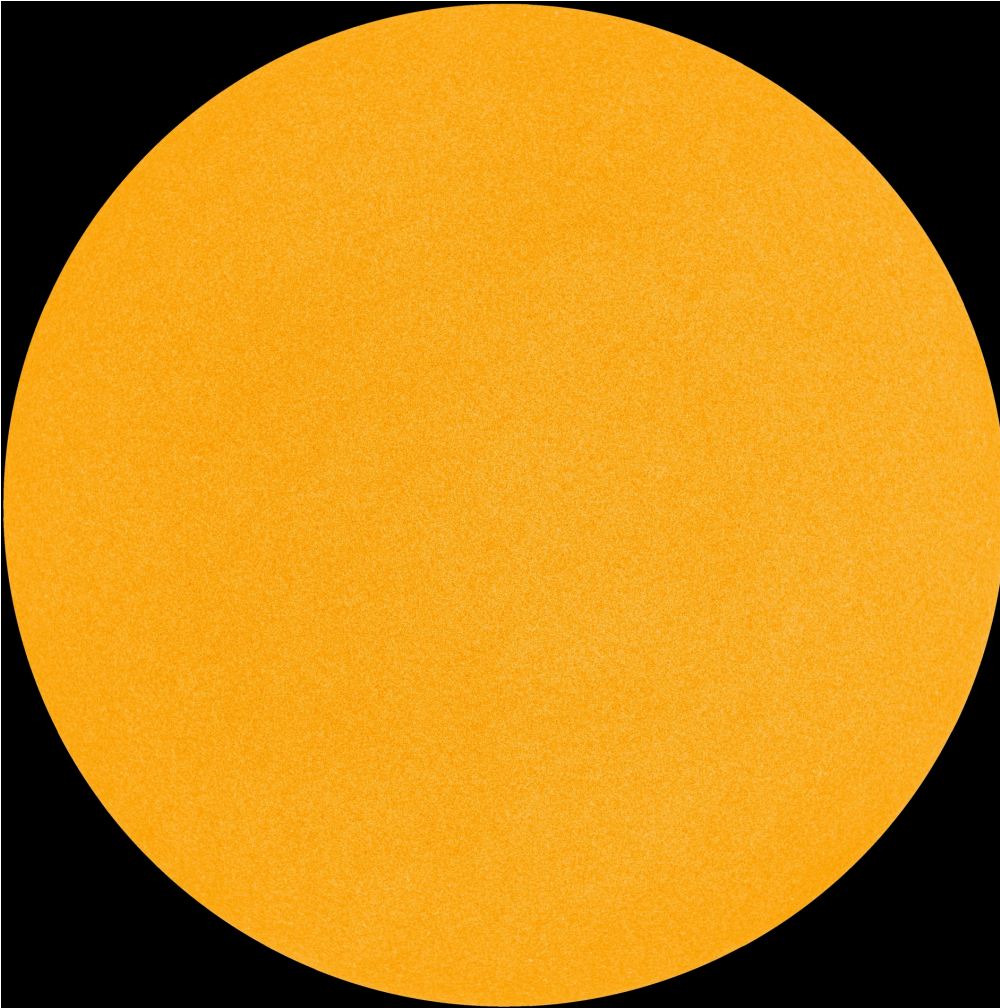
Entre más manchas solares presente el Sol, es mayor la posibilidad de que ocurra una tormenta solar.

Estamos en el mínimo de manchas solares.

Updated 2020 Feb 3

NOAA/SWPC Boulder, CO USA

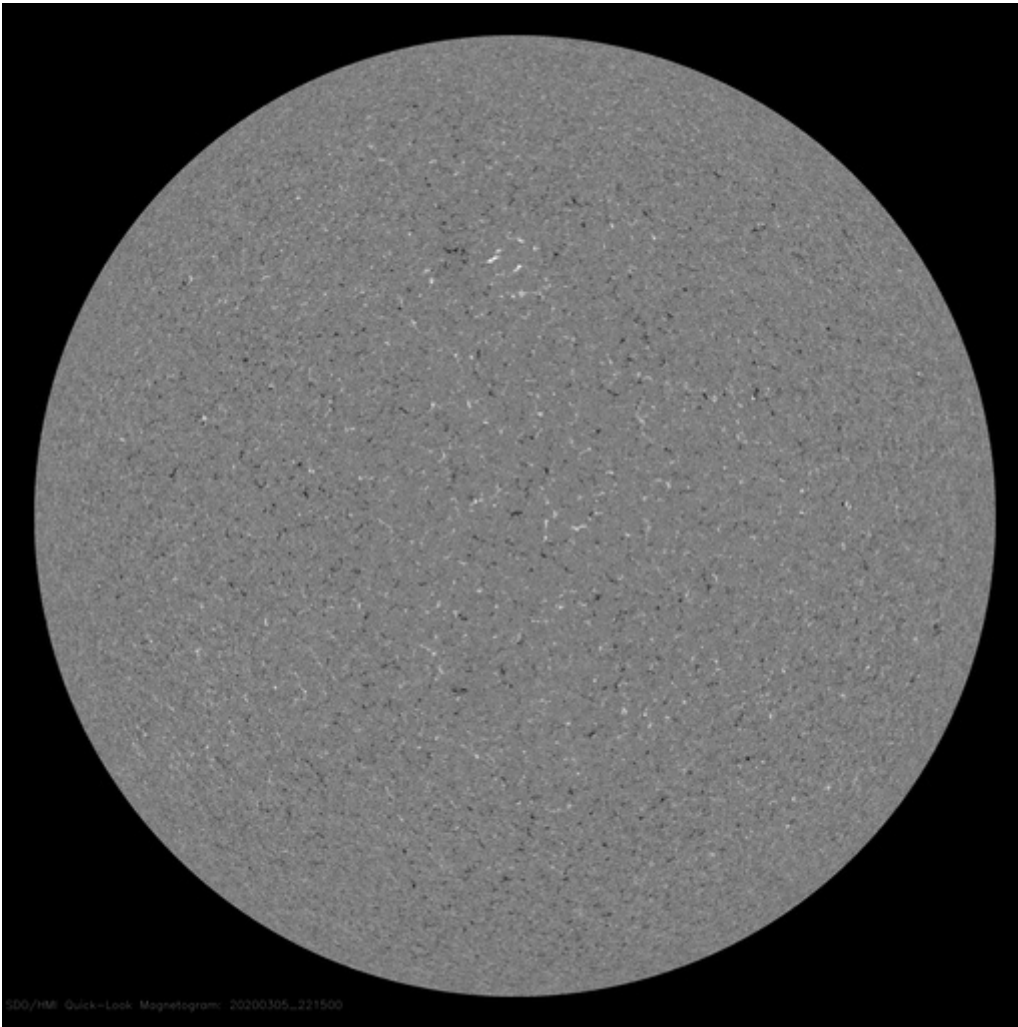
<http://www.swpc.noaa.gov/products/solar-cycle-progression>



La fotosfera es la zona “superficial” del Sol, donde aparecen las manchas solares. Regiones oscuras formadas por material más frío que sus alrededores y que contienen intensos campos magnéticos. Las manchas solares están relacionadas con la actividad solar.

La imagen de la fotosfera del 5 de marzo no muestra manchas solares.

<https://sdo.gsfc.nasa.gov/>



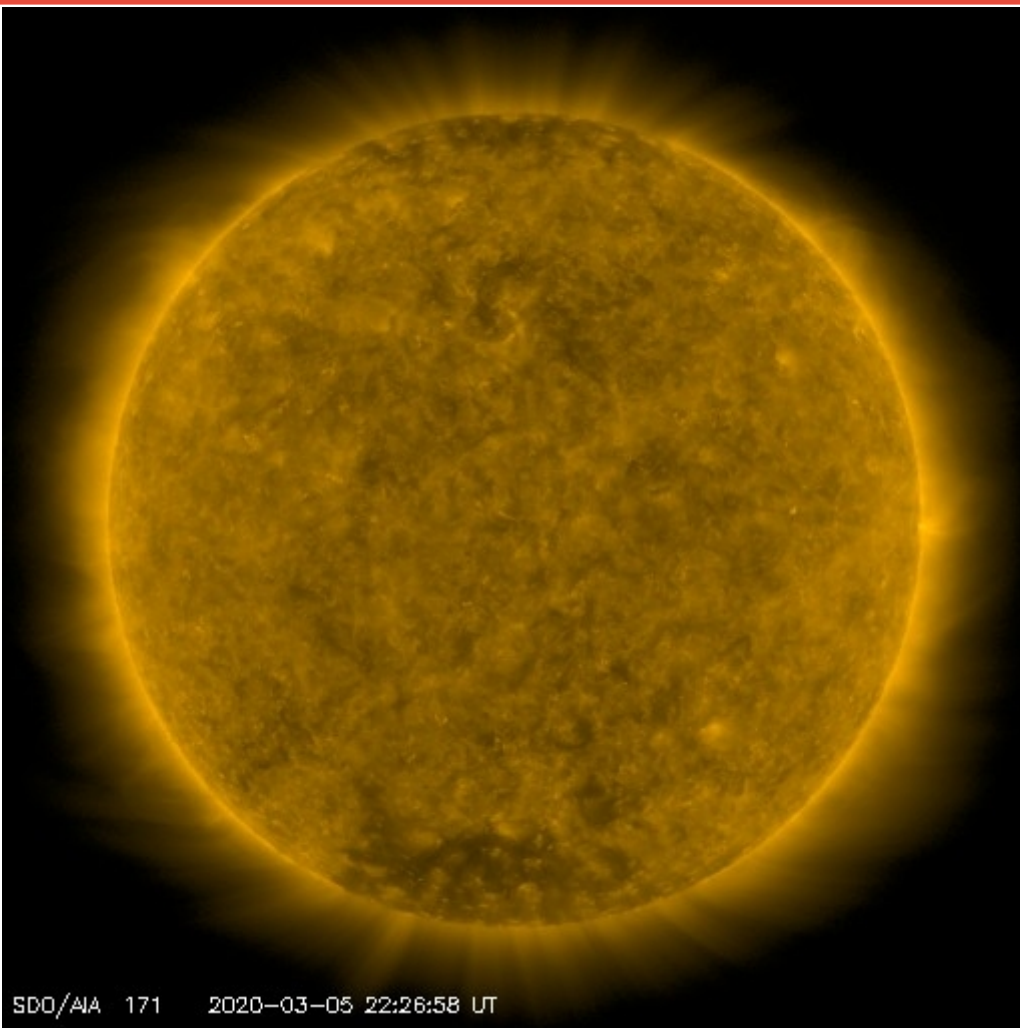
Un magnetograma solar permite identificar las regiones de intensos campos magnéticos solares. En general, estos campos magnéticos están asociados a manchas solares.

Las regiones de color blanco (negro) son zonas por donde salen (entran) líneas de campo magnético, correspondientes a polaridad positiva (negativa).

La imagen de la fotosfera del 5 de marzo no muestra regiones activas.

<https://sdo.gsfc.nasa.gov/>

# Atmósfera solar y regiones activas



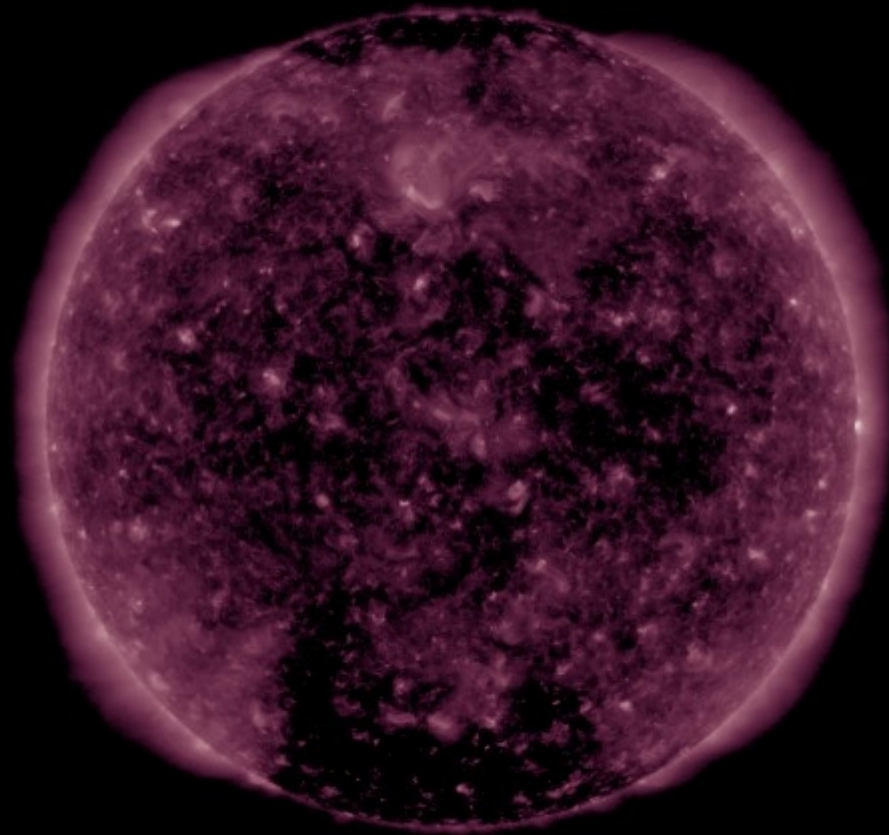
El Sol en rayos X suaves (171 Å). La emisión de Fe IX y X revela la estructura magnética en la región de la atmósfera solar llamada corona solar que se encuentra a 630,000 K.

Las regiones activas (zonas brillantes) son los lugares donde se presentan los fenómenos de actividad solar más importantes. Las regiones activas están regularmente asociadas a las manchas solares.

El Sol al 5 de marzo:

No se registran regiones brillantes que se consideren regiones activas.

<http://sdo.gsfc.nasa.gov/>



El Sol en rayos X suaves (211 Å). La emisión de Fe XIV revela la estructura magnética en la alta corona que se encuentra a 2,000,000 K.

Los hoyos coronales (regiones oscuras) son regiones de campo magnético solar localmente abierto. Los hoyos coronales son fuente de las corrientes de viento solar rápido.

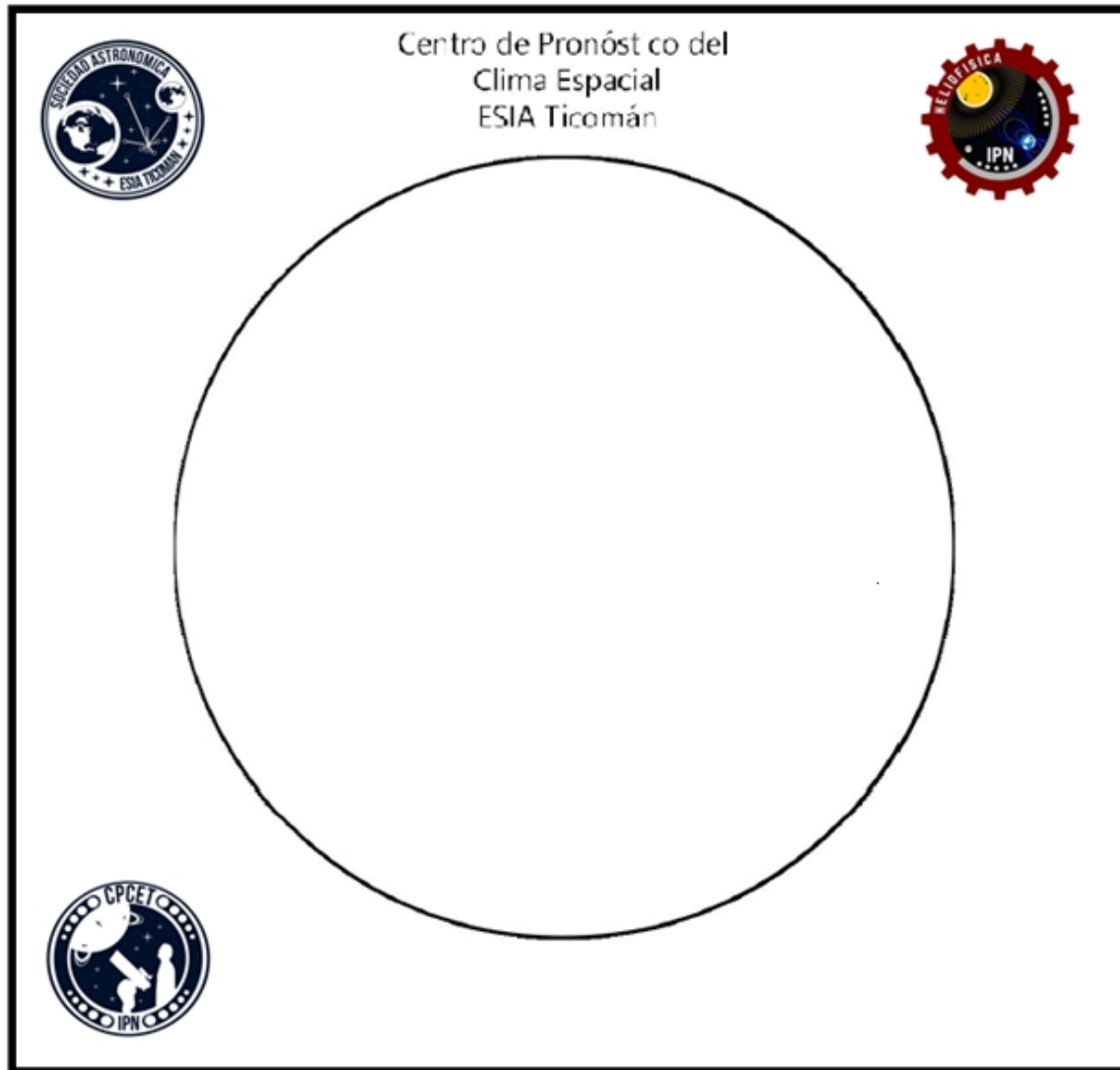
El Sol al 5 de marzo:

Se muestran dos hoyos coronales un en polo norte y otro en polo sur, así como 3 hoyos cerca del centro del disco solar (ver diapositiva de “Región de interacción del viento solar”).

SDO/AIA 211 2020-03-05 22:24:35 UT

<http://sdo.gsfc.nasa.gov/>





El número de Wolf es un valor que permite evaluar numéricamente la actividad solar mediante el conteo de manchas solares ubicadas sobre la superficie del Sol. Este se calcula a partir de la fórmula desarrollada por Rudolf Wolf en 1849:

$$W=k(10*G+F)$$

Donde:

K= Es un factor de corrección que depende de cada observatorio.

F= Cantidad total de manchas solares visibles sobre el disco solar.

G= Cantidad de grupos manchas solares visibles sobre el disco solar.

Número de Wolf promedio esta semana: **0**

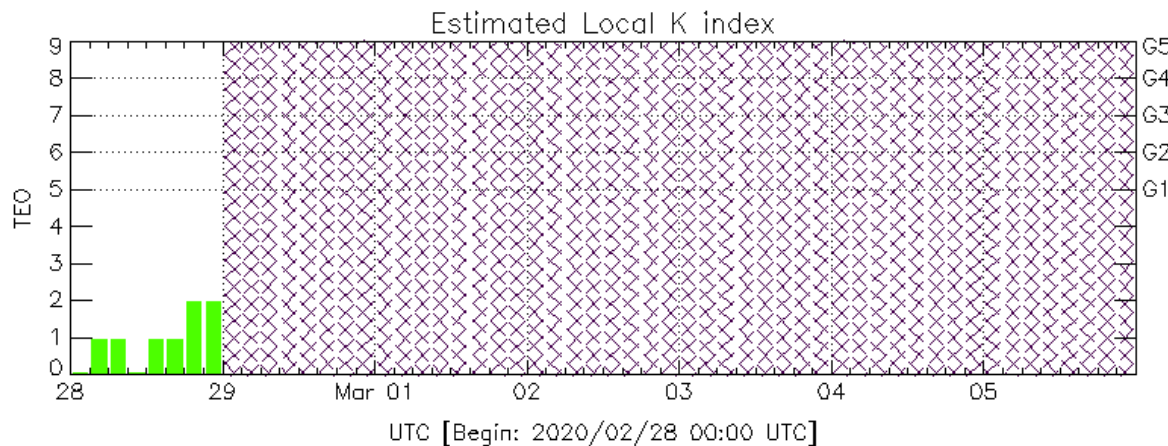
Actividad solar: **BAJA**

# Perturbaciones geomagnéticas: Índices geomagnéticos Kp y Kmex

Imagen: <http://services.swpc.noaa.gov/images/planetary-k-index.gif>

Fue una semana quieta. No se registraron perturbaciones geomagnéticas significativas.

La transferencia de datos del Observatorio de Teoloyucan está suspendida desde el 29 de febrero.

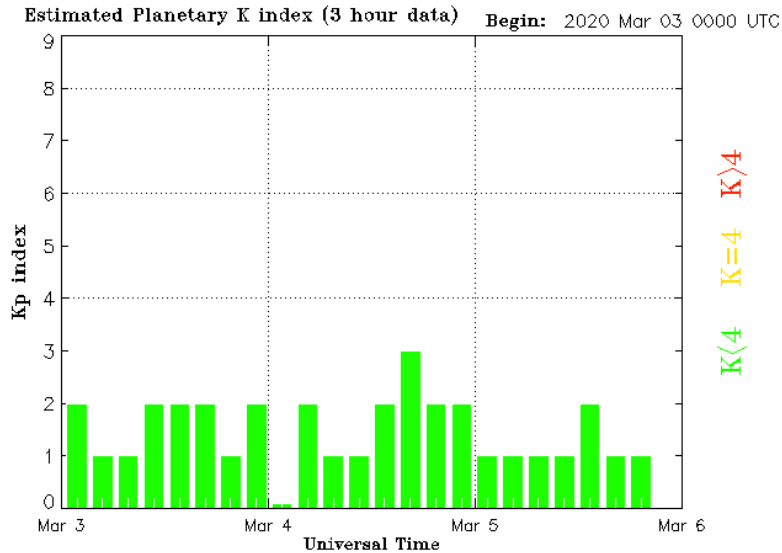


Color Code: ■ quiet, ■ disturbed, ■ storm, XXXX data not available.

TEO: Teoloyucan Geomagnetic Observatory (LAT 19.746, LON -99.193)

LANC/SCIESMEX - Morelia, Mich., MX

Updated: 2020/03/05-21:00 UTC



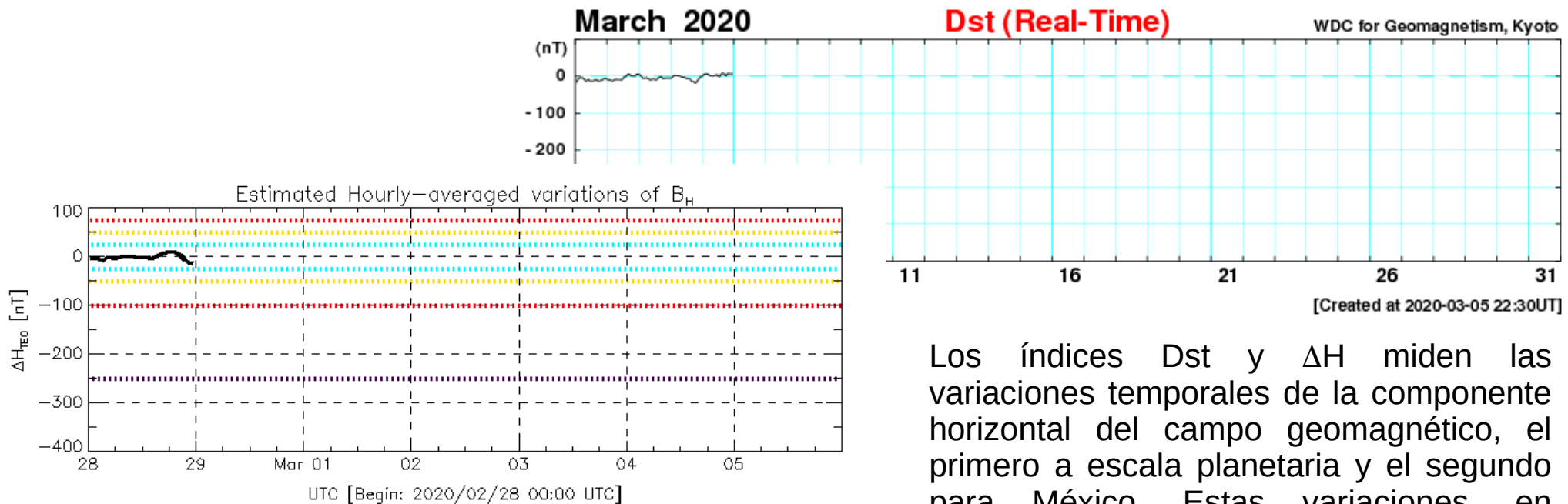
El índice K indica la intensidad de las variaciones del campo magnético terrestre en intervalos de 3 horas. El índice Kp lo expresa a escala planetaria, mientras que el Kmex lo hace para el territorio mexicano.

# Perturbaciones geomagnéticas: Índice Dst y $\Delta H$

Fue una semana quieta. No se registraron alteraciones significativas en los índices Dst y  $\Delta H$ .

La transferencia de datos del Observatorio de Teoloyucan está suspendida desde el 29 de febrero.

Imagen: [http://wdc.kugi.kyoto-u.ac.jp/dst\\_realtime/presentmonth/index.html](http://wdc.kugi.kyoto-u.ac.jp/dst_realtime/presentmonth/index.html)



Los índices Dst y  $\Delta H$  miden las variaciones temporales de la componente horizontal del campo geomagnético, el primero a escala planetaria y el segundo para México. Estas variaciones, en general, se deben al ingreso de partículas anómalas al ambiente espacial terrestre.

# Medio interplanetario: El viento solar cercano a la Tierra

## Modelo numérico WSA-ENLIL.

El modelo pronostica un ambiente solar terrestre dominado por corrientes con velocidades de viento solar promedio de 450 a 500 km/s. La densidad del plasma no presentará incrementos significativos. No se pronostica la llegada de ninguna EMC.

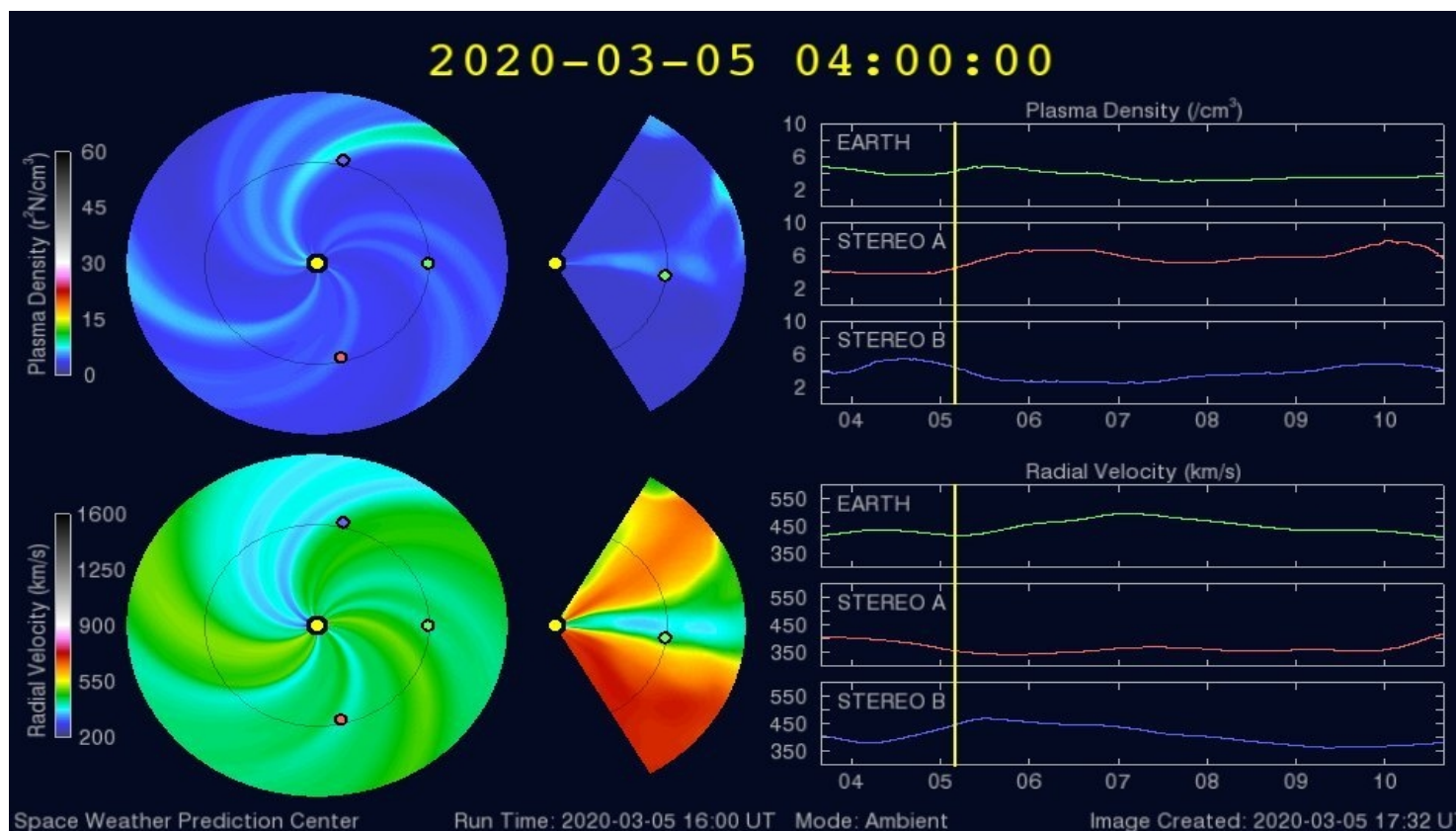
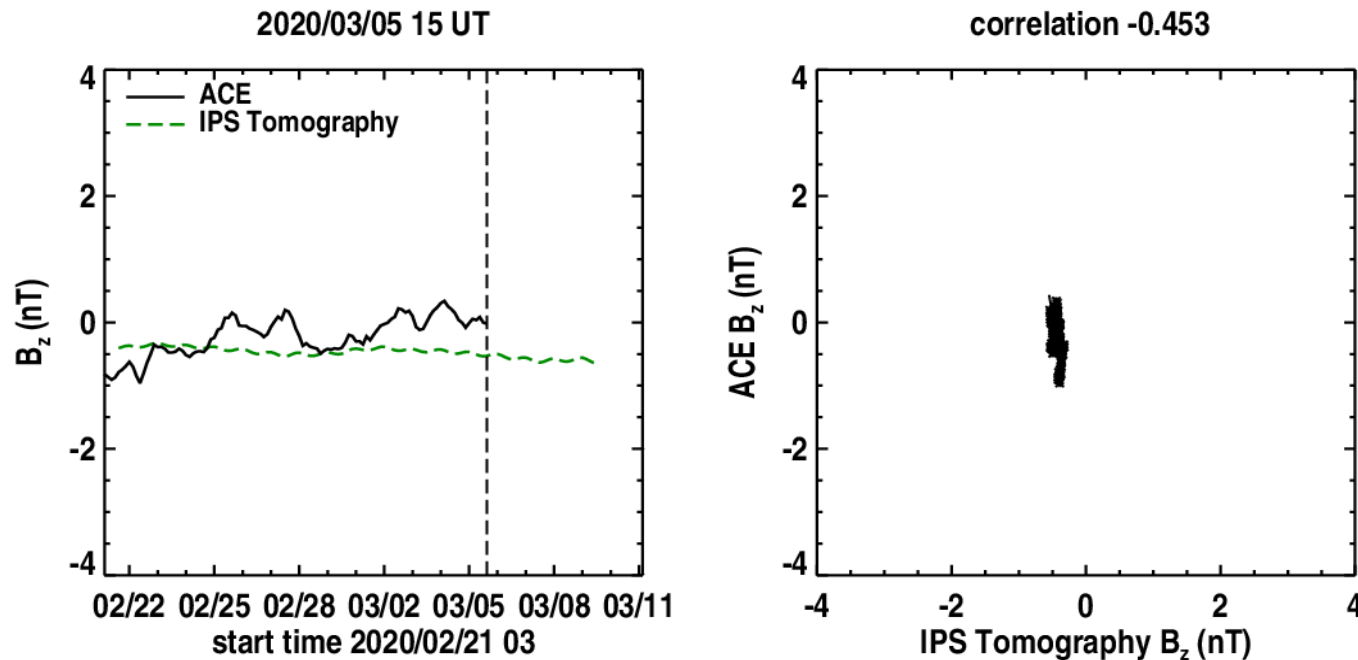


Imagen: <http://www.swpc.noaa.gov/products/wsa-enlil-solar-wind-prediction>

# Medio interplanetario: Pronóstico de Bz en L1

Pronóstico de la componente Bz del viento solar cercano a la Tierra usando la tomografía con datos IPS.

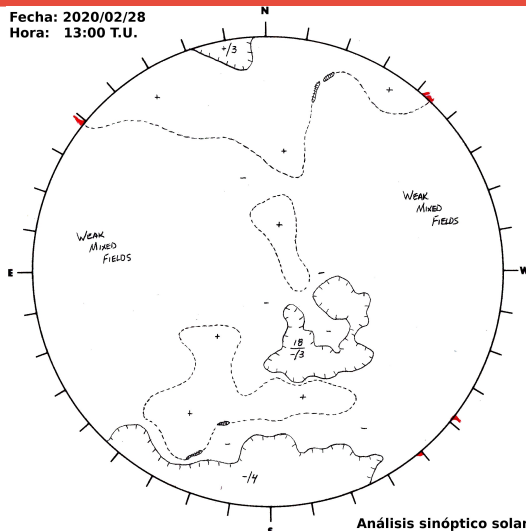


**(Izquierda)** Se pronostica una componente  $B_z$  negativa. **(Derecha)** La comparación con las observaciones del Advanced Composition Explorer (ACE) indican una correlación de 0.176 en el último pronóstico.

Imagen: [http://ips.ucsd.edu/high\\_resolution\\_predictions](http://ips.ucsd.edu/high_resolution_predictions)

# Medio interplanetario: Región de interacción de viento solar

Fecha: 2020/02/28  
Hora: 13:00 T.U.



Del 28 de febrero al 5 de marzo se registró una región de interacción (área sombreada en imagen 3). El origen del viento solar rápido es un hoyo coronal de polaridad negativa localizado en latitudes bajas en el disco solar (ver imagen 1). Dicha región no generó actividad geomagnética. En la imagen 2 (área sombreada en amarillo) vemos la hoja de corriente bajo el plano de la eclíptica.

Imagen 1: [ftp://ftp.swpc.noaa.gov/pub/synoptic\\_maps/](ftp://ftp.swpc.noaa.gov/pub/synoptic_maps/)

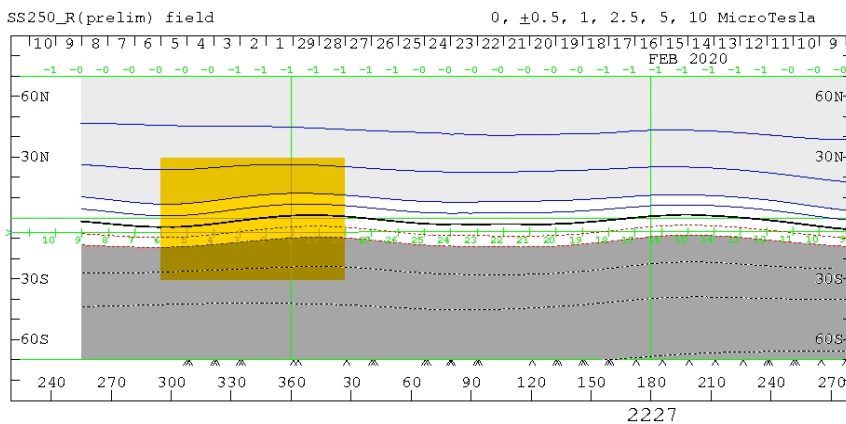


Imagen 2: <http://wso.stanford.edu/SYNOP/>

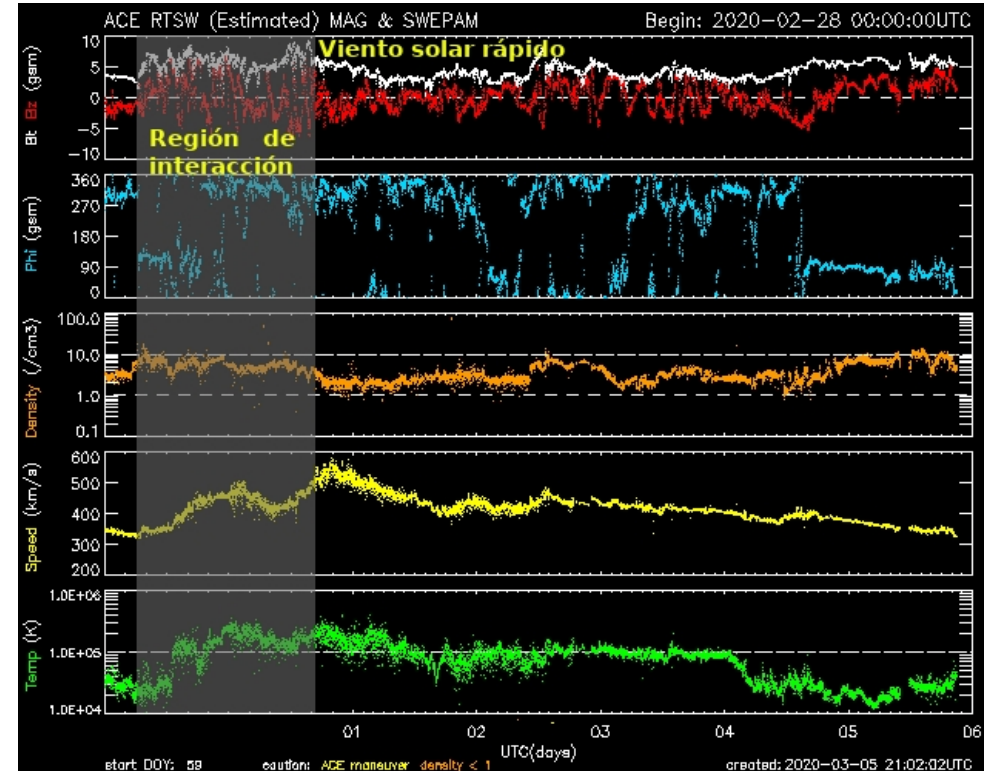


Imagen 3: <http://www.swpc.noaa.gov/products/ace-real-time-solar-wind>

# Ionósfera sobre México: TEC en el centro del país (datos)

El contenido total de electrones (TEC) es un parámetro que sirve para caracterizar el estado de la ionosfera de la Tierra.

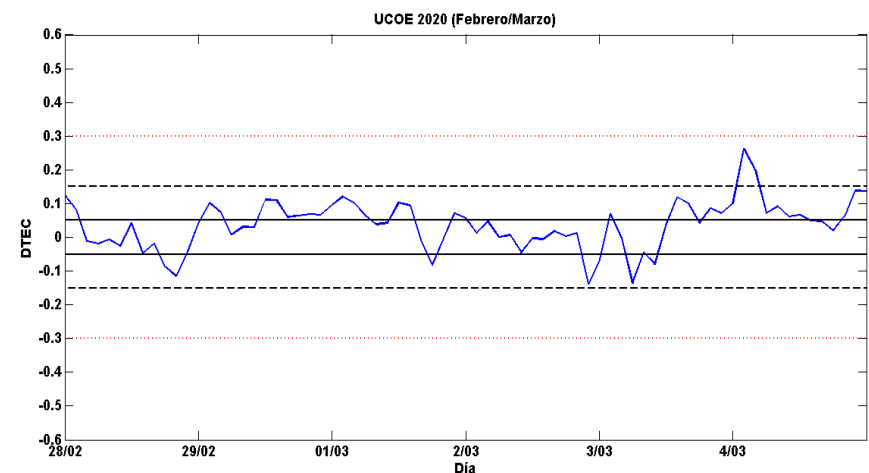
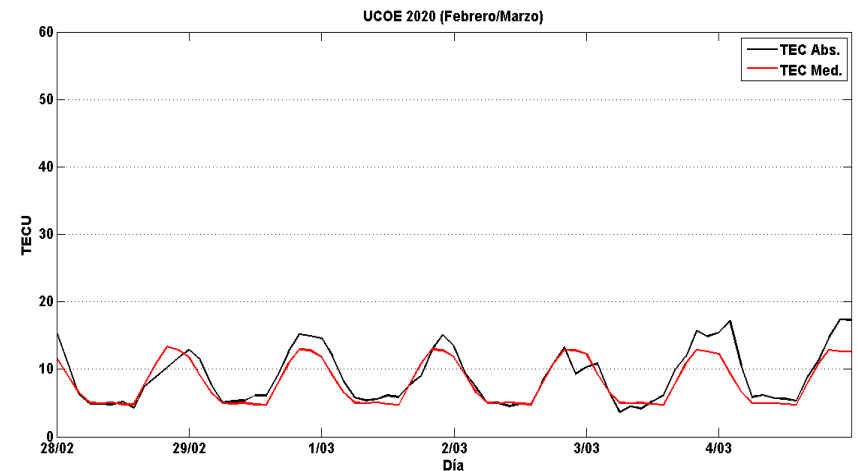
Serie temporal de los valores de TEC (negro) con referencia a su valor mediano (rojo) durante 28.02-05.03.2020 con base en los datos de la estación local UCOE (TLALOCNet, UNAVCO) en las instalaciones del Mexart.

Desviación de TEC de su mediana de los 27 días anteriores al día de observación con base en los datos de la misma estación.

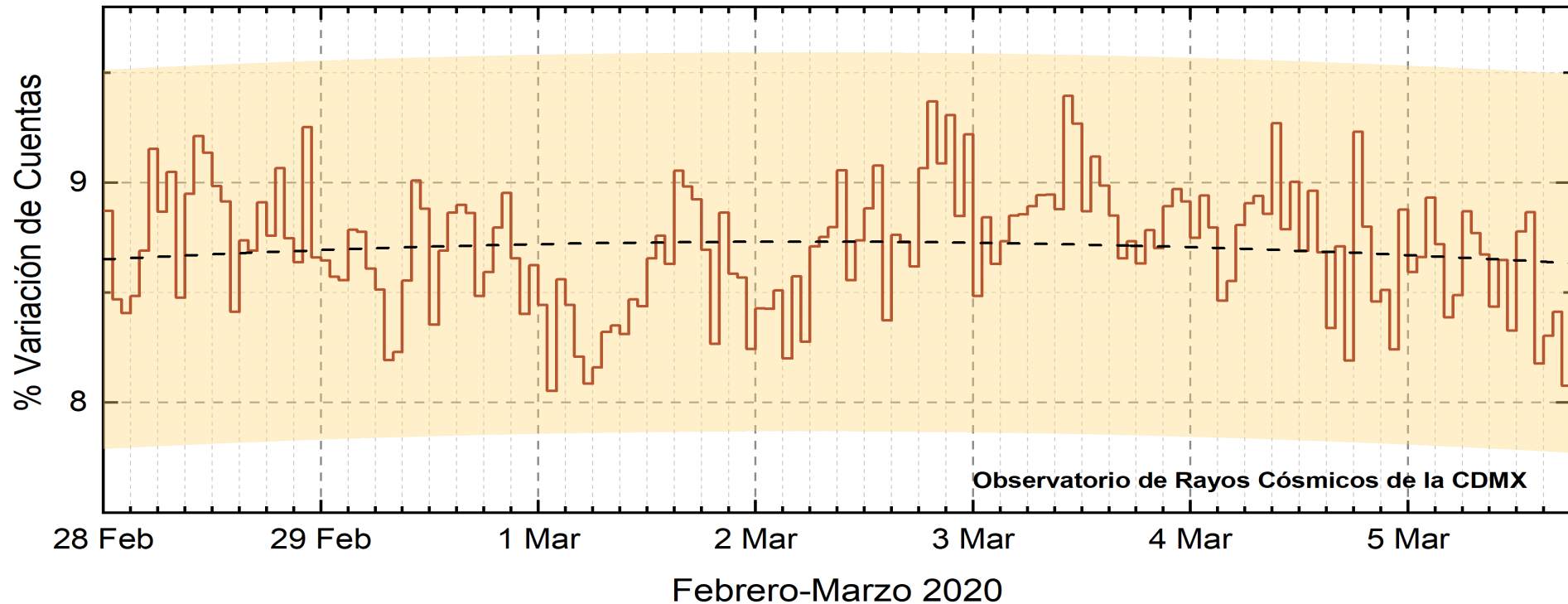
Según los datos locales, no se observaron variaciones significativas de TEC esta semana.

El cálculo se realiza en base de TayAbsTEC software del Instituto de Física Solar-Terrestre, Sección Siberiana de la Academia de Ciencias de Rusia. Referencia: Yasyukevich et al., Influence of GPS/GLONASS Differential Code Biases on the Determination Accuracy of the Absolute Total Electron Content in the Ionosphere, Geomagn. and Aeron., ISSN 0016\_7932, 2015.

Referencia: Gulyaeva et al., GIM-TEC adaptive ionospheric weather assessment and forecast system. doi:10.1016/j.jastp.2013.06.011, 2013.



# Rayos Cósmicos:



<http://www.cosmicrays.unam.mx/>

Datos registrados por el Observatorio de Rayos Cósmicos de la Ciudad de México. La curva discontinua negra representa el promedio de los datos registrados, el área coloreada en amarillo representa la significación de los datos ( $\pm 3\sigma$ ). Cuando se registran variaciones que salen del área, es probable que éstas sean atribuidas a efectos de emisiones solares en el flujo de rayos cósmicos.

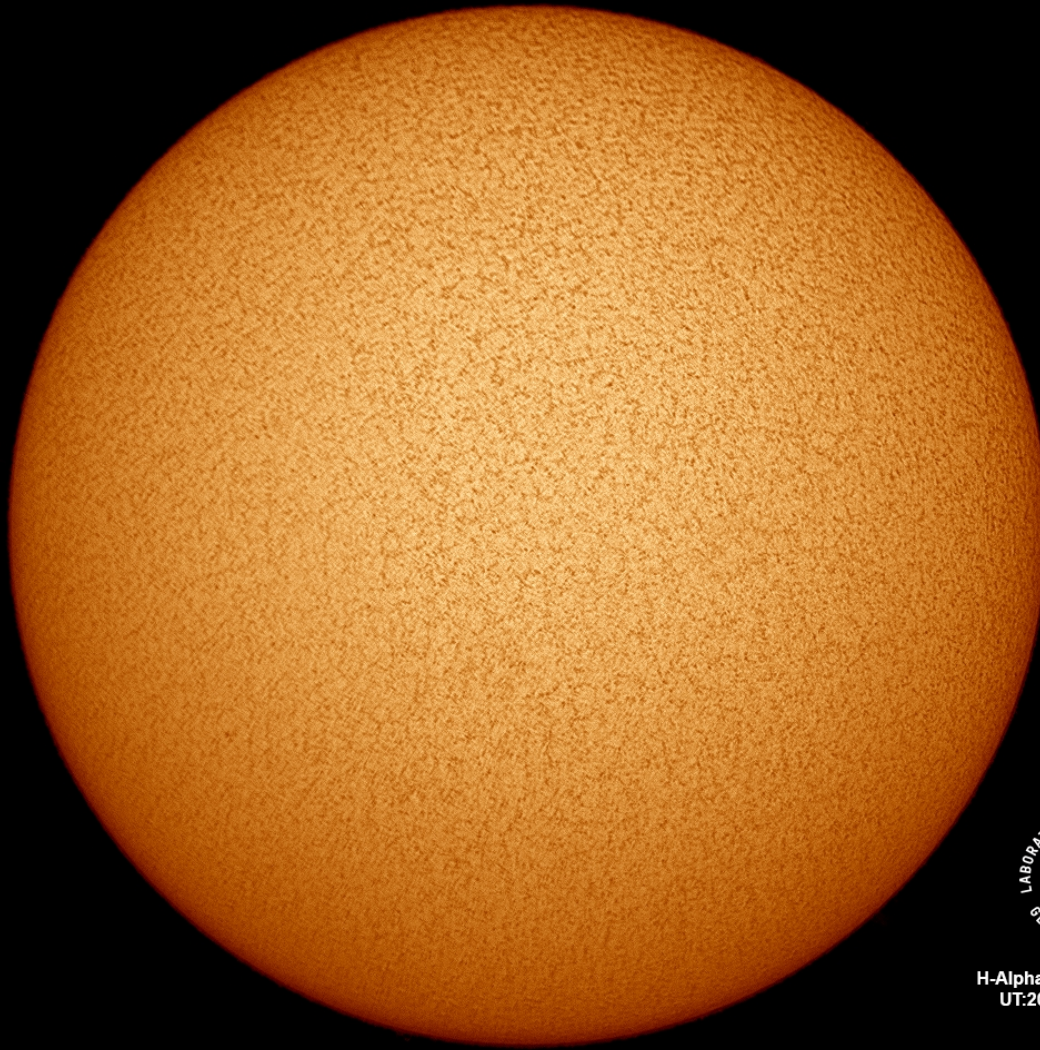
Del 28 de febrero al 05 de marzo de 2020, no se detectaron incrementos significativos ( $>3\sigma$ ) en las cuentas de rayos cósmicos.



# Cromosfera solar

**LANCE**

Laboratorio Nacional  
de Clima Espacial



LABORATORIO DE CIENCIAS  
LACIGE  
UNAM  
GEOSPACIALES

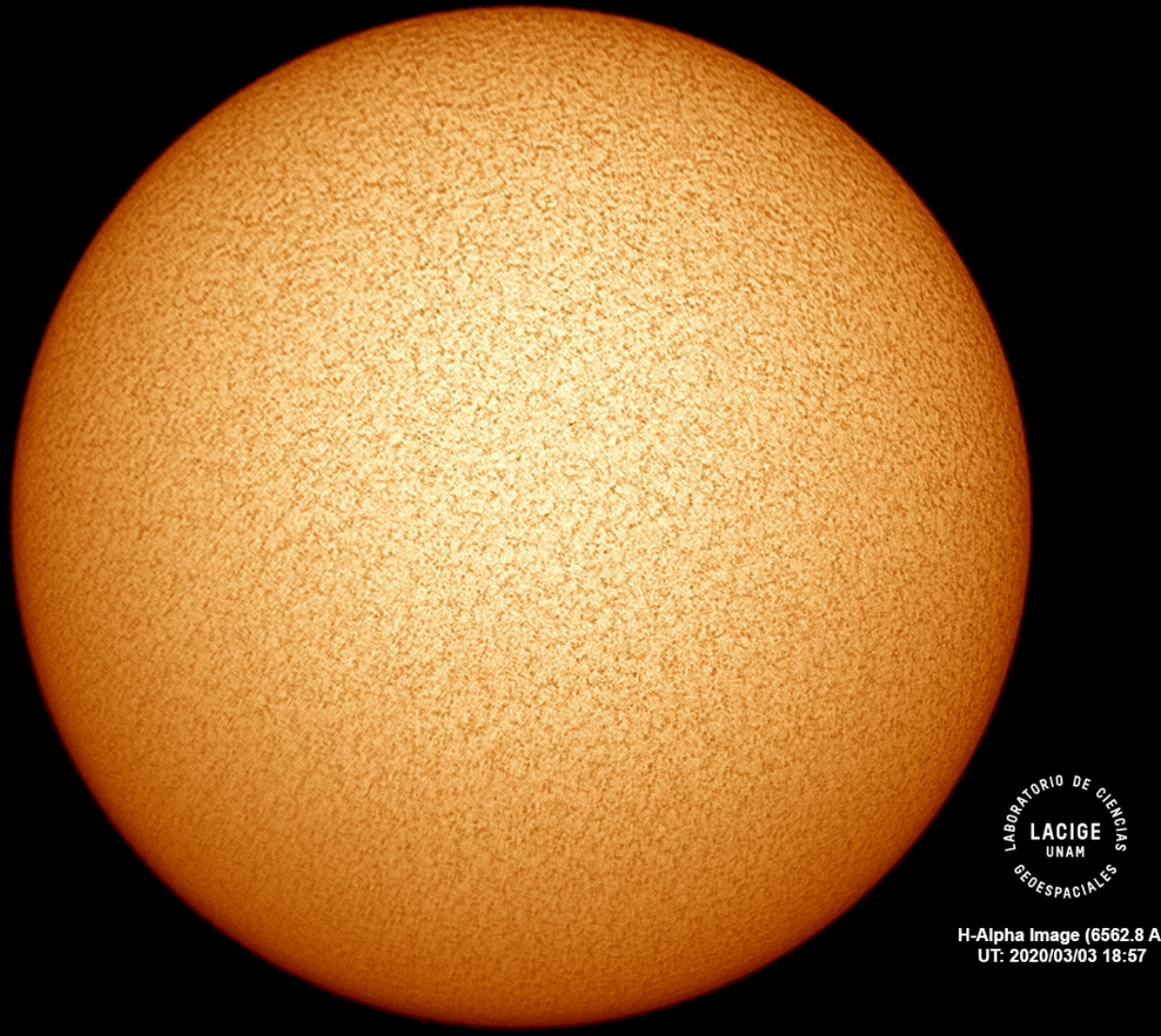
H-Alpha Image (6562.8 Å)  
UT:2020/02/28 18:51

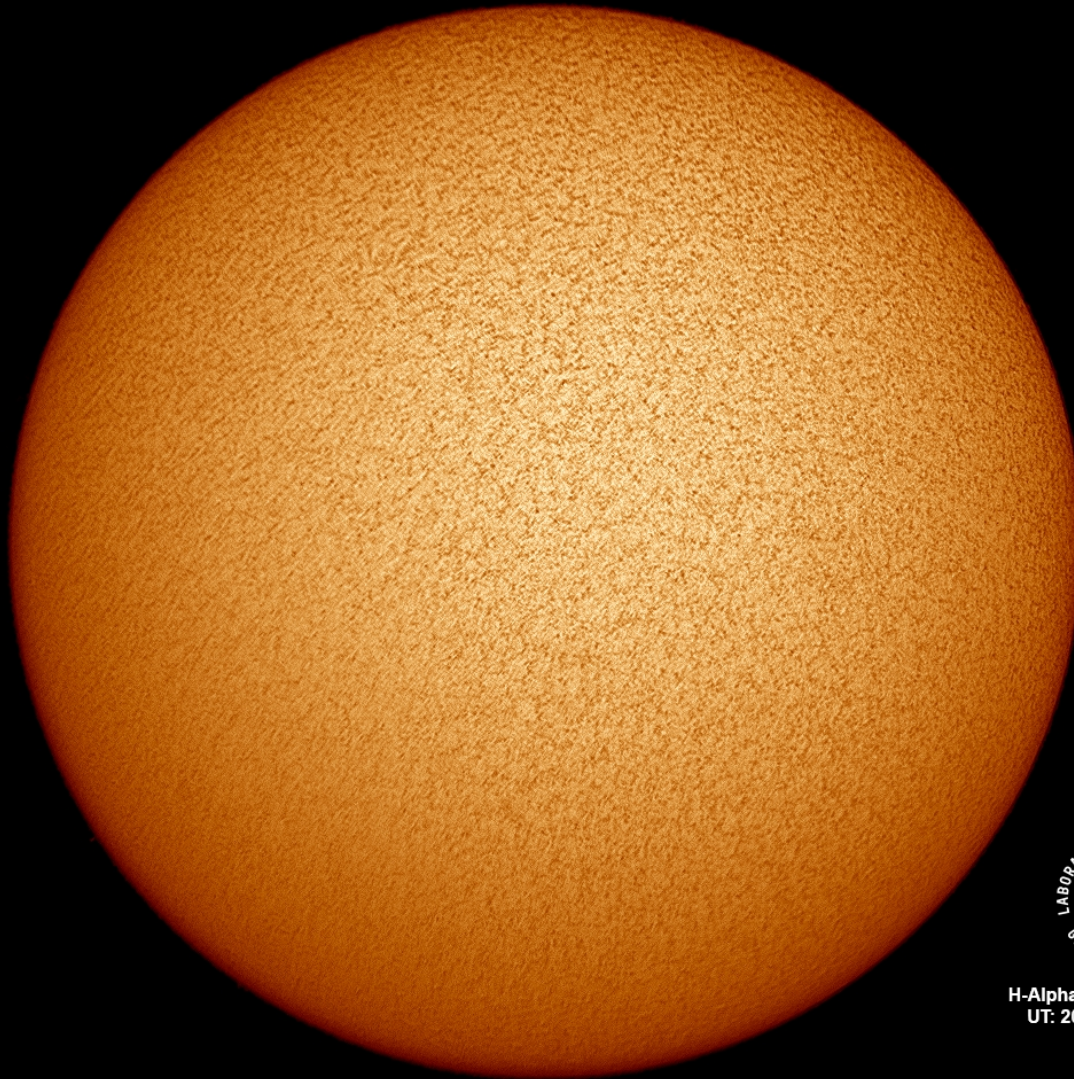
Imagen de la cromosfera solar en H-Alpha (6562.8 Å) para el día 28/02/2020, 18:51 hrs TU.

No se observaron regiones activas para esta fecha.

Imagen de la cromosfera solar en H-Alpha ( $6562.8 \text{ \AA}$ ) para el día 03/03/2020, 18:57 hrs TU.

No se observaron regiones activas para esta fecha.





H-Alpha Image (6562.8Å)  
UT: 2020/03/04 19:07

Imagen de la cromosfera solar en H-Alpha (6562.8 Å) para el día 04/03/2020, 19:07 hrs TU.

No se observaron regiones activas para esta fecha.

# Cromosfera solar

# LANCE

Laboratorio Nacional  
de Clima Espacial

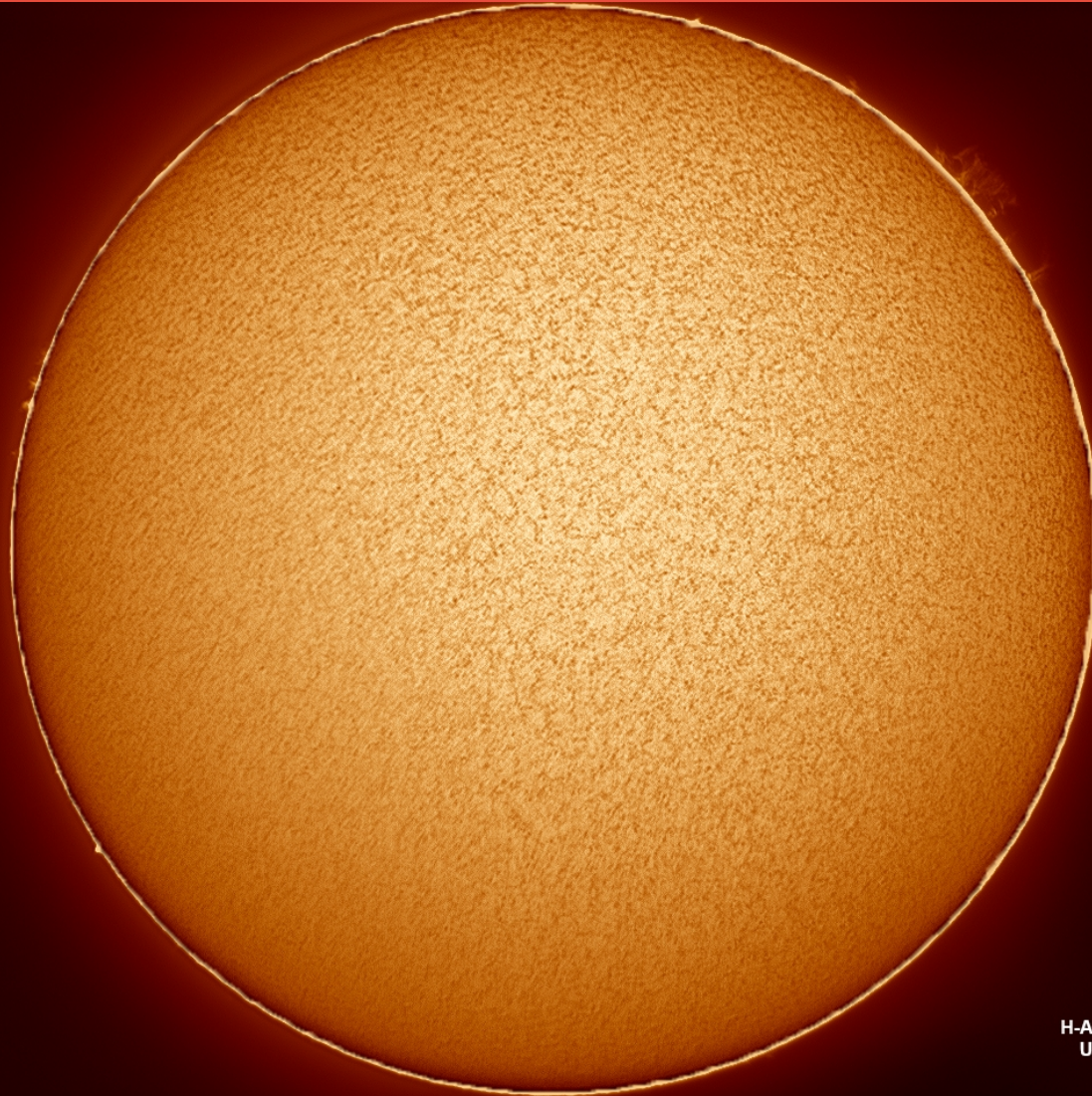


Imagen compuetsa de la cromosfera solar en H-Alpha (6562.8 Å) para el día 04/03/2020, 19:09 hrs TU.

No se observaron regiones activas para esta fecha. Se pueden observar protuberancias al noroeste del disco solar.

## **UNAM/LANCE/SCiESMEX**

Dr. J. Américo González Esparza  
Dr. Pedro Corona Romero  
Dra. Maria Sergeeva  
Dr. Julio C. Mejía Ambriz  
Dr. Luis Xavier González Méndez  
Dr. José Juan González Avilés  
Ing. Ernesto Andrade Mascote  
M.C. Pablo Villanueva Hernández  
Ing. Adan Espinosa Jiménez  
Ing. Juan Luis Godoy Hernández  
Dr. Ernesto Aguilar-Rodríguez  
Dra. Verónica Ontiveros  
Dra. Tania Oyuki Chang Martínez  
Ing. Juan José D'Aquino  
M.C. Víctor José Gatica Acevedo

## **UNAM ENES-Morelia**

Dr. Mario Rodríguez Martínez  
Dr. Víctor De la Luz Rodríguez  
Lic. Shaden Saray Hernández Anaya  
M.C. Raúl Gutiérrez Zalapa  
Rafael Zavala Molina

## **UNAM/PCT**

Lic. Elizandro Huipe Domratcheva  
M.C. Víctor Hugo Méndez Bedolla  
M.C. Elsa Sánchez García

## **UANL/LANCE**

Dr. Eduardo Pérez Tijerina  
Dr. Enrique Pérez León  
Dr. Carlos de Meneses Junior  
Dra. Esmeralda Romero Hernández

## **UNAM/IGF/RAYOS CÓSMICOS**

Dr. José Francisco Valdés Galicia  
Fis. Alejandro Hurtado Pizano  
Ing. Octavio Musalem Clemente

## **SERVICIO MAGNÉTICO**

M.C. Esteban Hernández Quintero  
M.C. Gerardo Cifuentes Nava  
Dra. Ana Caccavari Garza

## **CPCET/SAET-IPN**

Ing. Julio Cesar Villagrán Orihuela  
Ing. Reynaldo Vite Sánchez  
Alain Mirón Velázquez  
Angel Alfonso Valdovinos Cordoba  
Mariana Yolanda Ortiz Hernández  
Pablo Romero Minchaca  
Valeria García Miguel

**Elaboración:** Equipo SCiESMEX

**Revisión:** Ernesto Aguilar Rodríguez

## Agradecimientos

El Laboratorio Nacional de Clima Espacial (LANCE) es parcialmente financiado por: el programa Cátedras CONACYT Proyecto 1045 y el Fondo Sectorial AEM-CONACYT proyecto 2014-01-247722. Agradecemos al proyecto Conacyt - Repositorio Institucional de Clima Espacial 268273. Agradecemos a todos los responsables y colaboradores de instrumentos del LANCE y a las redes de estaciones GPS del Servicio Sismológico Nacional y TalocNET por facilitar sus datos. Agradecemos a Gerardo Cifuentes, Esteban Hernández y Ana Caccavari por los datos del Observatorio magnético de Teoloyucan. De igual forma, agradecemos los servicios de IGS (International GNSS Service) por permitirnos usar los datos IONEX disponibles en: <ftp://cddis.gsfc.nasa.gov/pub/gps/products/ionex>. Los valores de TEC fueron obtenidos a partir de observaciones de las redes GPS del Servicio Sismológico Nacional (SSN), SSN-TLALOCNet y TLALOCNet del Servicio de Geodesia Satelital (SGS). Agradecemos al personal del SSN y del SGS por el mantenimiento de estaciones, la adquisición de datos y el soporte de IT de estas redes. Las operaciones de la red TLALOCNet y SSN-TLALOCNet GPS han sido apoyadas por The National Science Foundation bajo el proyecto EAR-1338091 a UNAVCO Inc., los proyectos CONACyT 253760 y 256012 y los proyectos UNAM-PAPIIT IN109315-3 y IN104818-3 de E. Cabral-Cano y el proyecto UNAM-PAPIIT IN111509 de R. Pérez. De igual forma agradecemos a los proyectos de infraestructura del CONACyT: 253691 y del PAPIIT-DGAPA: IA107116 para el fortalecimiento de equipos como la estación fija de GPS, que forman parte del LACIGE-UNAM, de la ENES unidad Morelia a cargo de M. Rodríguez-Martínez. El cálculo de TEC se realiza: 1) utilizando el software US-TEC que es un producto de operación del Space Weather Prediction Center (SWPC), desarrollado a través de una colaboración entre National Geodetic Survey, National Oceanic and Atmospheric Administration (NOAA) y el Cooperative Institute for Research in Environmental Sciences of the University of Boulder, Colorado, 2) con base en el software TayAbsTEC del Instituto de Física Solar-Terrestre, Sección Siberiana de la Academia de Ciencias Rusa. Parte del procesamiento de datos se lleva a cabo dentro del Centro de Supercómputo de Clima Espacial (CESCOM) del LANCE. Así mismo agradecemos al Space Weather Forecasting Center for Astrophysics & Space Research de la University of California in San Diego y al Korean Space Weather Center por los datos de pronóstico para los modelos WSA-ENLIL y los mapas tomográficos por IPS. Agradecemos a la red e-callisto por los datos proporcionados de espectros electromagnéticos dinámicos de la red internacional de registro de evento de radio solares.

## Datos

Imágenes de coronógrafo, flujo de rayos X y modelo WSA-ENLIL:

<http://www.swpc.noaa.gov/products>

<http://iswa.ccmc.gsfc.nasa.gov/IswaSystemWebApp/>

Imágenes de coronógrafo:

<http://sohowww.nascom.nasa.gov/data/>

Imágenes del disco solar y de la fulguración:

<http://www.solarmonitor.org/>

Detección y caracterización de EMCs:

<http://www.sidc.oma.be/cactus/out/latestCMEs.html>

<http://spaceweather.gmu.edu/seeds/>

ISES:

<http://www.spaceweather.org/>

International Network of Solar Radio Spectrometers (e-callisto):

<http://www.e-callisto.org/>

German Research Center For Geosciences Potsdam:

<http://www.gfz-potsdam.de/en/sektion/erdmagnetfeld/daten-dienst-e/kp-index/>

Data Analysis Center for Geomagnetism and Space Magnetism, Kyoto University:

<http://wdc.kugi.kyoto-u.ac.jp/index.html>

UNAVCO:

<http://www.unavco.org>

SSN:

<http://www.sismologico.unam.mx/>

SOHO Spacecraft NASA:

<http://sohowww.nascom.nasa.gov/>

SDO Spacecraft NASA:

<http://sdo.gsfc.nasa.gov/>

Space Weather Prediction Center NOAA:

<http://www.swpc.noaa.gov>

GOES Spacecraft NOAA:

<http://www.ngdc.noaa.gov/stp/satellite/goes/index.html>

ACE Spacecraft NOAA

<http://www.srl.caltech.edu/ACE/ASC/index.html>